



FPGAによる高性能計算

- FPGA-based High-Performance Computing -

東北大学大学院情報科学研究科

計算数理科学分野

佐野 健太郎

1

11 Jun 2008

Tutorial
SACSSIS
2008



謝辞

東京工業大学学術国際情報センター

青木 尊之 教授, 西川 武志 准教授

東北大学大学院情報科学研究科

山本 悟 教授, 王 陸洲 氏, 初田 義明 氏

エクソンモービル

飯塚 尊則 氏

Imperial College, London

Prof. Wayne Luk

Maxeler Technology, Inc.

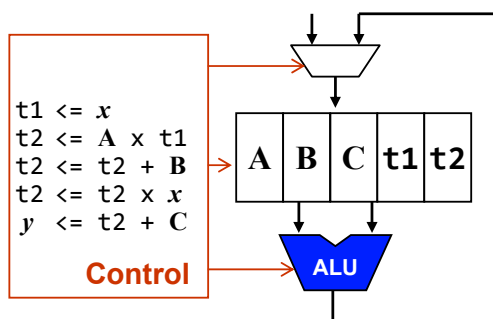
CEO Dr. Oskar Mencer,

Mr. Oliver Pell

Tutorial
SACSSIS
2008

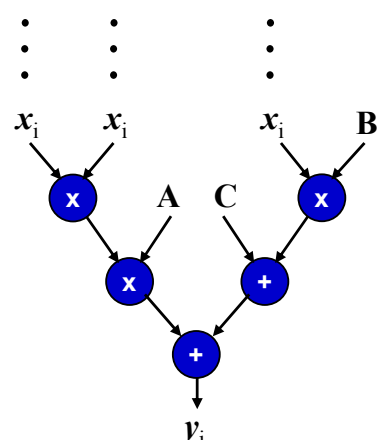
- FPGAによる高性能計算とは
- 事例1 ストリームアーキテクチャに基づく流体計算専用計算機
- 事例2 シストリックアーキテクチャに基づく差分法専用計算機
- まとめ

$$y_i = A x_i^2 + B x_i + C$$



汎用 μ プロセッサ

逐次演算 \Rightarrow スループットの限界



専用計算回路

並列演算 \Rightarrow 高スループット

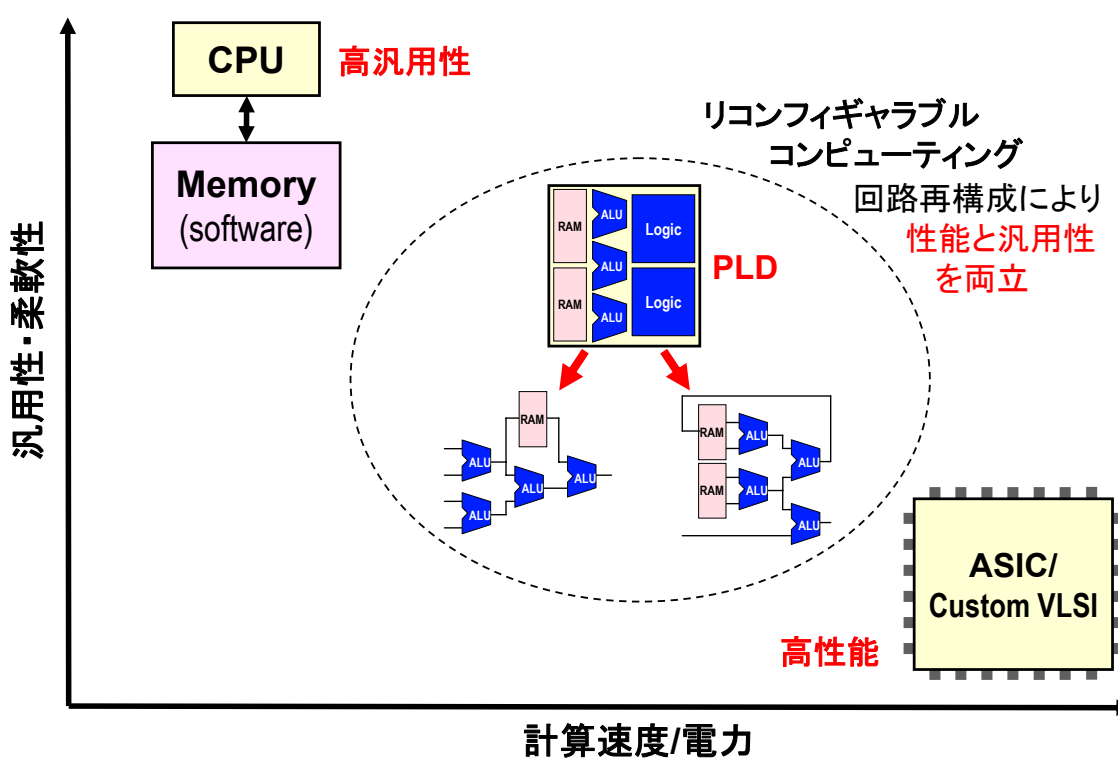
内在する並列性・規則性をHW化することにより
効率よく高性能計算を実現できる問題がある

- ASIC/カスタムLSI

- | | |
|---|--|
| 良 | <ul style="list-style-type: none"> ✓ 最高性能（膨大な数のTr.を効率よく利用） ✓ 大量生産により安価に |
| 悪 | <ul style="list-style-type: none"> ✓ 高い初期コスト ⇒ 少量生産に不向き ✓ 長い開発期間 ✓ <u>柔軟性に欠く</u> ⇒ 様々な計算問題への対応は困難
⇒ 設計ミスが命取りに |

- 柔軟性(汎用性)を損なわない方法

**プログラマブルロジックデバイス(PLD)による
リコンフィギュラブルコンピューティング**



- プログラマブルロジックデバイスの一つ
 - ✓ エンド・ユーザが回路を書き換え可能
 - VLSIの回路エミュレーション
 - 少量生産品の電子回路
 - ✓ 基盤に実装された状態で書き換え可能
 - 惑星探査機、携帯の基地局(通信方式の更新)



- 使用例



高級デジタルAV

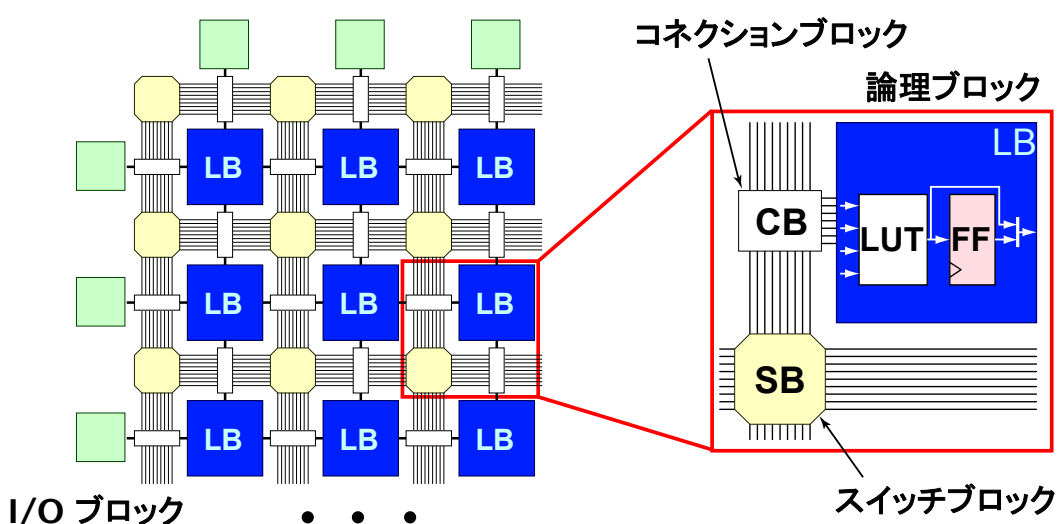


惑星探査機



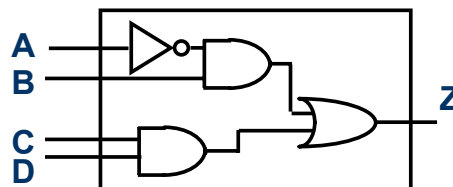
携帯の基地局

問題に特化した回路に書き換えて計算も可 ⇒ どのような回路?



FPGA =	論理ブロック	⇒ 順序回路(LUT & FF)
+ I/Oブロック		⇒ ピンの入出力機能を設定
+ スイッチ と配線		⇒ ブロック間を接続
(プログラマブル要素)		

- 組合せ論理回路は Look-Up Tables (LUTs)で実現可
- LUTのサイズは入力のビット幅のみに依存
- LUT遅延は論理の複雑さに依存せず



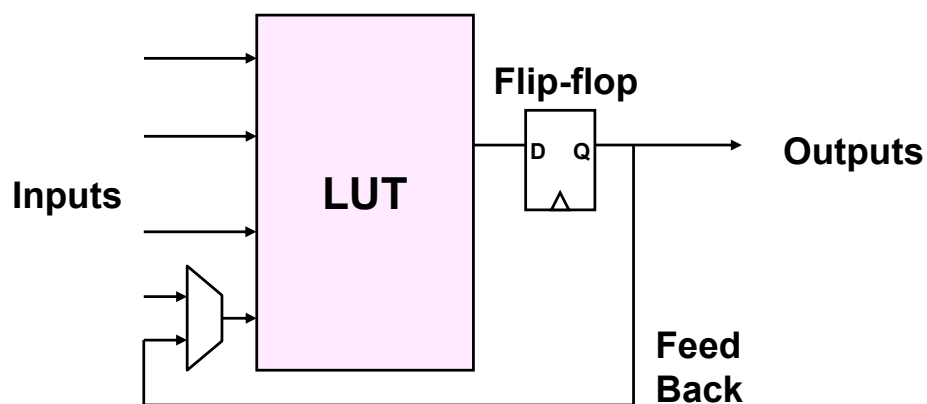
組み合わせ論理回路

address				data
A	B	C	D	Z
0	0	0	0	0
0	0	0	1	0
0	0	1	0	0
0	0	1	1	1
0	1	0	0	1
0	1	0	1	1
0	1	1	0	0
1	1	0	0	0
1	1	0	1	1
1	1	1	0	0
1	1	1	1	1

SRAMで実現可
(\Rightarrow LUT)

真理値表

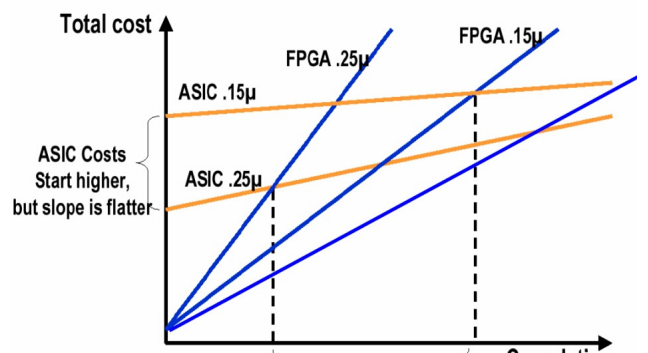
Tutorial
SACSSIS
2008



LUTs (組合せ論理回路) & Flip-flops \Rightarrow 順序回路

Tutorial
SACSSIS
2008

- 初期のFPGA **Glue Logic** の置き換え
(複数のLSIを接続する外付け論理回路)
- 近年のFPGA **SoC (System-on-Chip)** として
 - ✓ 大規模化 多数のLogic Element
 - ✓ 複合化 DSP, RAM, μ P \Rightarrow システムそのものがFPGA上に
 - ✓ 高速化 500~MHz動作
(DSP, BRAM)
 - ✓ CADの進歩 低いNRE*コスト
短いTTM**



* Non-Recurring Engineering

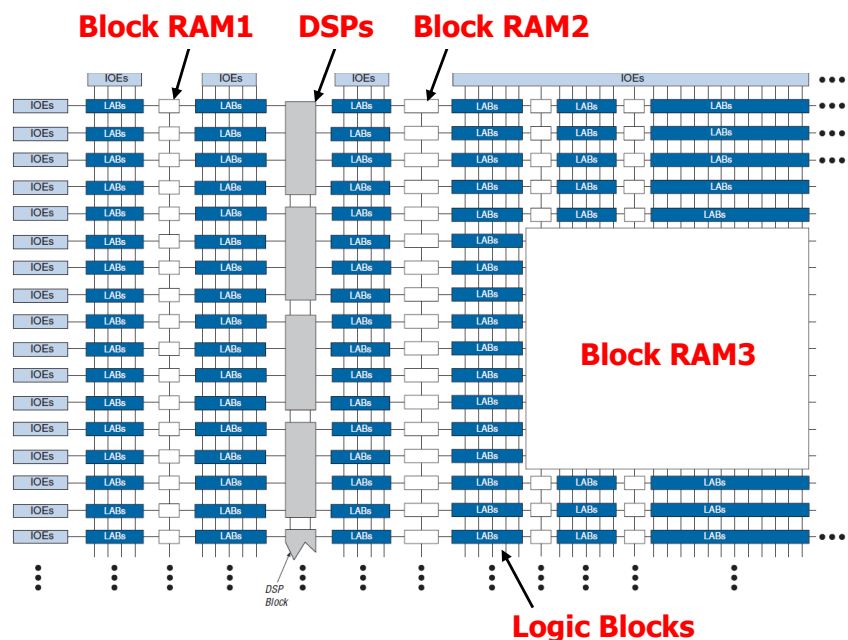
** Time-To-Market

出展: Dinesh Bhatia, "Advances in Reconfigurable Computing," 2005.

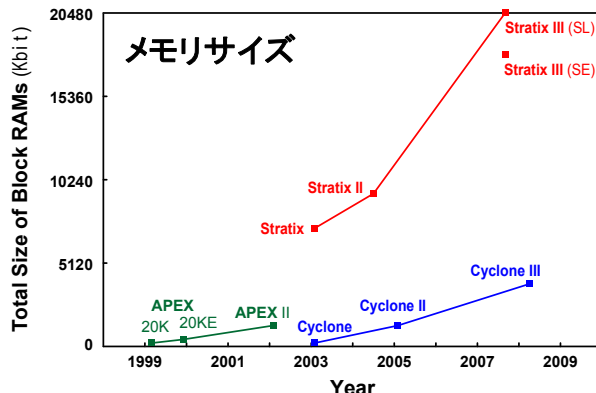
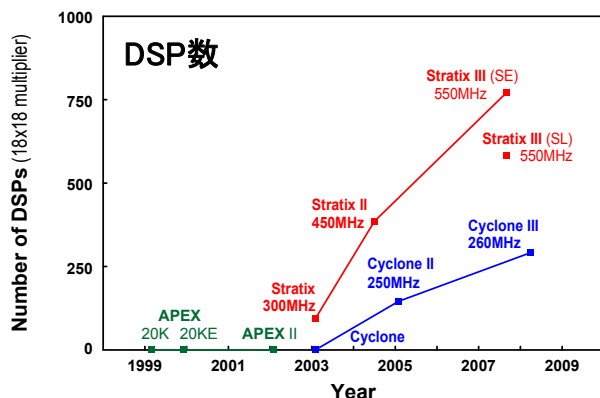
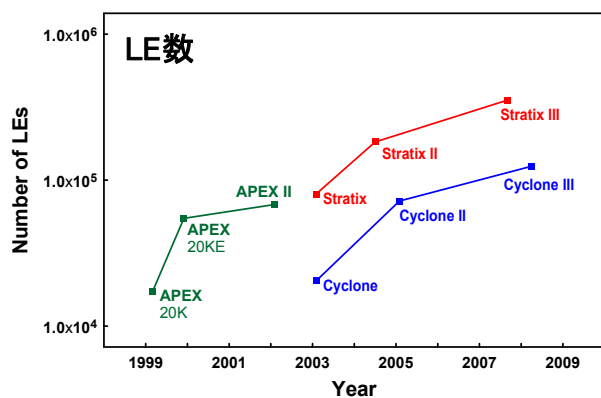
For each technology advance,
crossover volume moves higher

近年の大規模FPGA ALTERA Stratix-II

- ✓ 多数のロジック (~ 143520 LUTs)
- ✓ 多数の整数乗算器 (~ 96 36x36 DSPs)
- ✓ 内蔵RAM (~ 8.9Mbits BRAMs)
- ✓ LVDSやメモリI/F



浮動小数点演算器 \Rightarrow DSPブロックを用いて構築

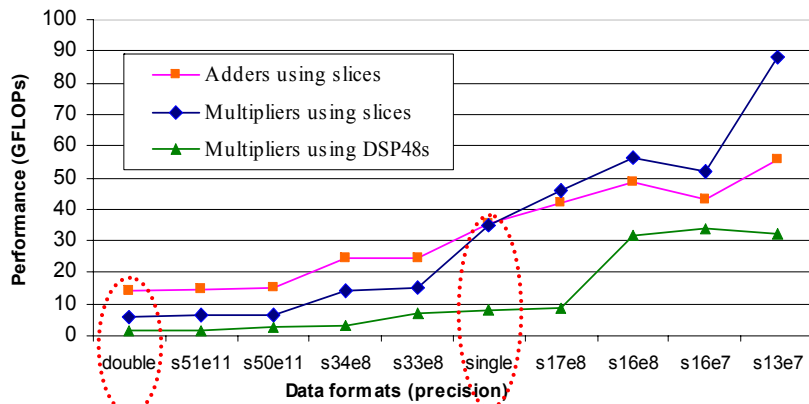


FPGAによる高性能計算

- 整数演算・ビット操作は μP の数百～数千倍の性能
- 浮動小数点演算は？
 - $\checkmark \mu P$ の数倍～の潜在性能(单精度・倍精度), 特殊精度はさらに?
[Underwood, FPGA2004] “FPGA vs. CPUs: Trends in peak floating-point performance”

✓ 4倍精度は?
 μP では
 倍精度の
 20分の1程度...

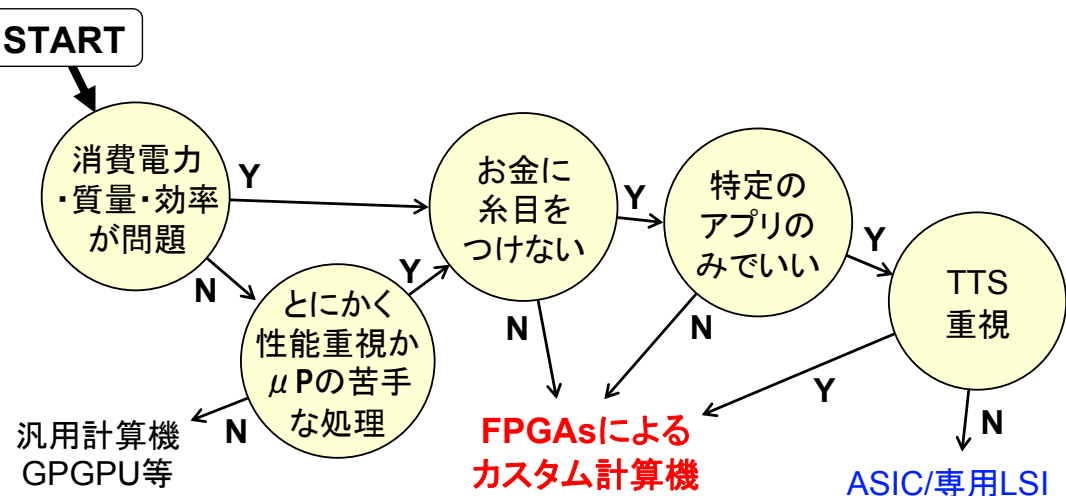
✓ 電力あたりは?



Virtex-II Pro におけるFP精度と性能
(性能 = 演算器数 × 動作周波数)

Junjing Sun, "Obtaining High Performance via Lower-Precision FPGA Floating Point Units," SC07.

HW化に向く計算を前提



- **FPGAボード**
 - ✓ 主要ベンダのFPGA
 - ✓ I/F (PCI, PCI-Express)
- **FPGAコプロセッサ (FSB接続)**
 - ✓ XtremeData, Inc. XD1000, XD2000F
- **FPGAクラスタ**
 - ✓ SGI Altix RASC Blade, Virtex-II 6000
 - ✓ SGI Altix RC100 Blade, Virtex-4 LX200
 - ✓ CRAY-XD1, Virtex-II Pro
 - ✓ CRAY-XR1 “Reconfigurable Processing Blade”, Virtex-4 LX200
 - ✓ SRC-6, SRC-7

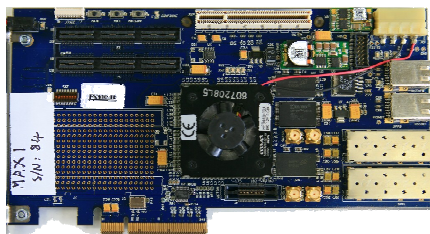
<http://www.xtremedatainc.com/>

<http://www.sgi.co.jp/products/altix/index.html>

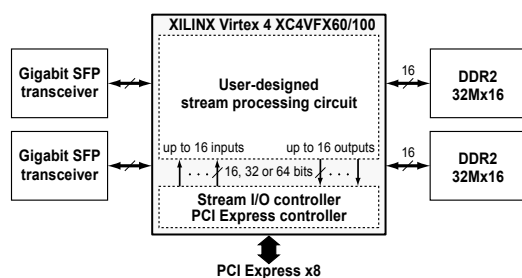
http://www.cray.com/global_pages/japan01.html

<http://www.srccomp.com/index.asp>

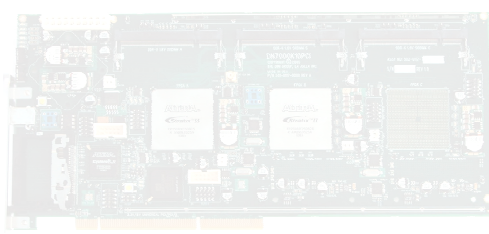
FPGA搭載ボードの例



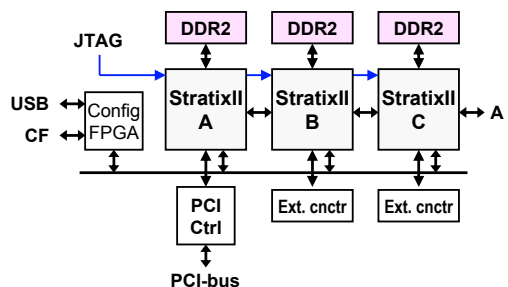
MAX-1
<http://www.maxeler.com/content/>



PCIe I/FはFPGA内に実装
 JTAG・PCIe経由によるコンフィグ



DN7000K10PCI
<http://www.dinigroup.com/DN7000k10pci.php>



PCI I/Fは別チップ
 ローカルメモリ, FPGA間接続

Tutorial
 SACSSIS
 2008

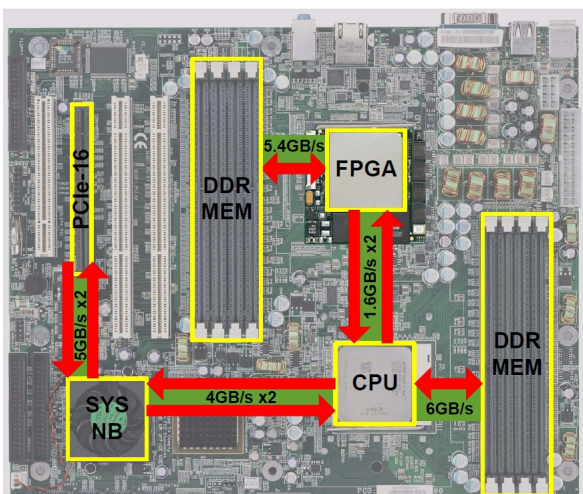
FPGAコプロセッサ (XtremeData, Inc.)

CPU ソケットにFPGAを接続
 FSB/Hyper Transport Link経由での
 広帯域メモリアクセス

XD2000F
 Altera StratixII
 FPGAs for AMD
 Opteron Socket



XD2000i
 Altera StratixIII
 FPGAs for
 Intel Socket
 (to be released in 2008 Q2-)

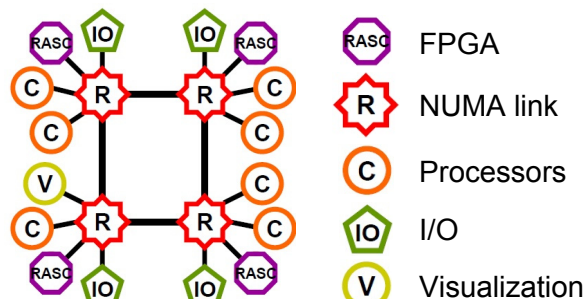


<http://www.xtremedatainc.com/>

Tutorial
 SACSSIS
 2008

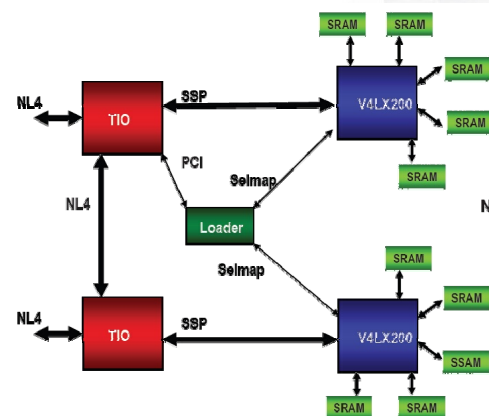
RASC RC100

2x Xilinx Virtex-4 LX200
80MB QDR SRAM or 20GB DDR2 SDRAM
Dual NUMAlink 4 ports



Altix System Architecture

<http://www.sgi.co.jp/products/altix/index.html>



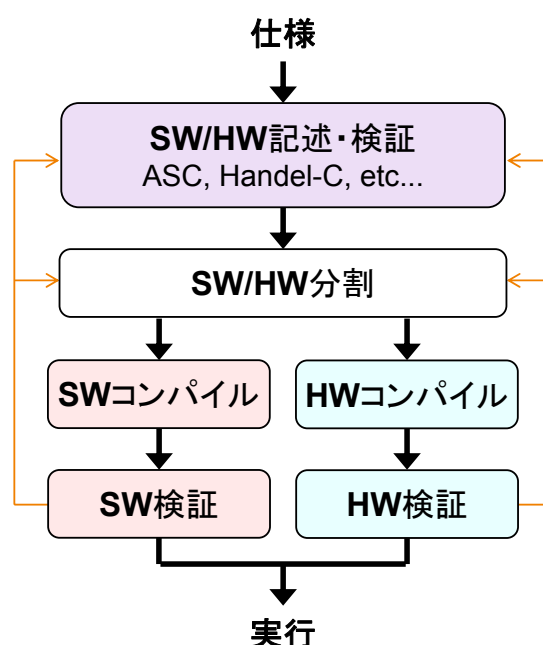
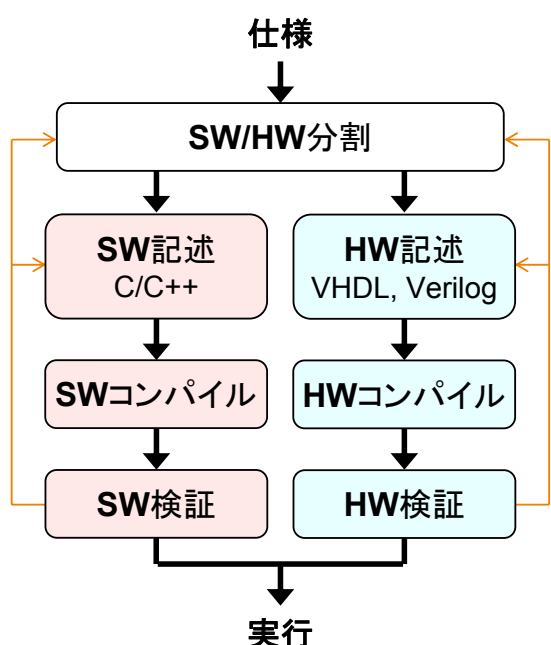
RASC (Reconfigurable Application Specific Computing) Node

Tutorial
SACSSIS
2008

19

FPGAによる高性能計算 @ SACSSIS08

11 Jun 2008



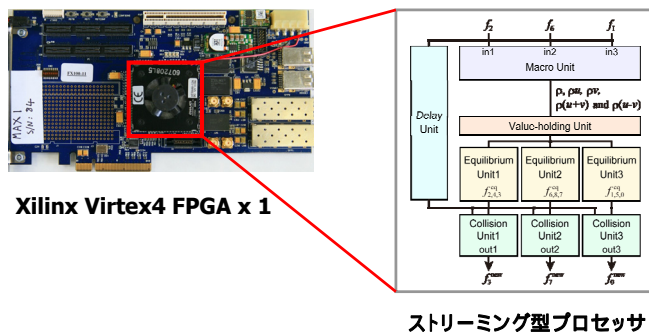
Tutorial
SACSSIS
2008

20

FPGAによる高性能計算 @ SACSSIS08

11 Jun 2008

ストリーム型 格子ボルツマン法専用計算機



21

FPGAによる高性能計算 @ SACSIS08

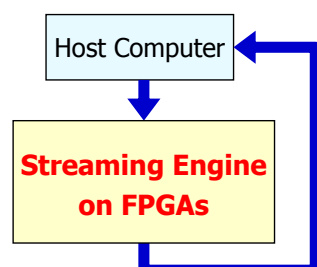
11 Jun 2008

 Tutorial
SACSIS
2008


ストリーム型計算に基づく専用計算機

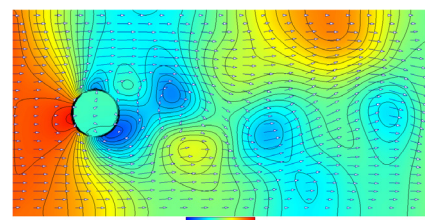
• ストリーム処理

- ✓ 異なるデータに対する同様な規則的計算
- ✓ 計算エンジンにデータ流(ストリーム)を流す
- ✓ パイプラインにより高スループット
- ✓ 連續アクセスにより広帯域を確保



• 格子ボルツマン法による流体計算

- ✓ 各格子点の計算が殆ど独立 ⇒ ストリーム処理可能
- ✓ 計算が規則的条件分岐殆ど無 ⇒ パイプライン化に適



ストリーム処理に基づく浮動小数点格子ボルツマン法専用計算機

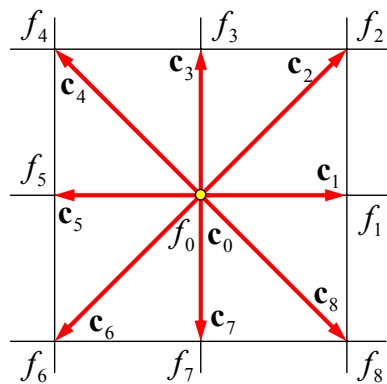
22

FPGAによる高性能計算 @ SACSIS08

11 Jun 2008

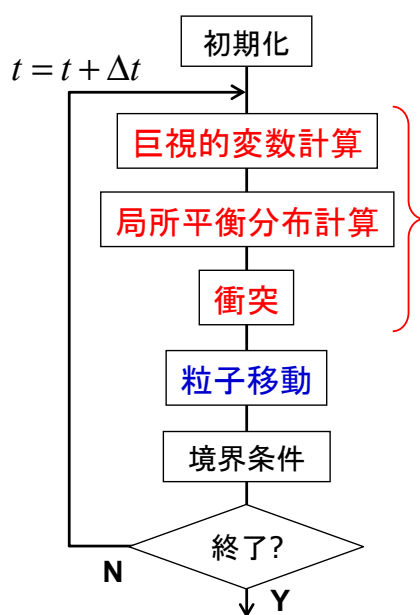
 Tutorial
SACSIS
2008

格子上に離散表現された仮想粒子による流体の数値計算手法



i 方向 ($= 0, 1, \dots, 8$)
 c_i 方向 i の粒子速度ベクトル
 f_i 粒子分布関数
(速度 i を持つ粒子の数密度)

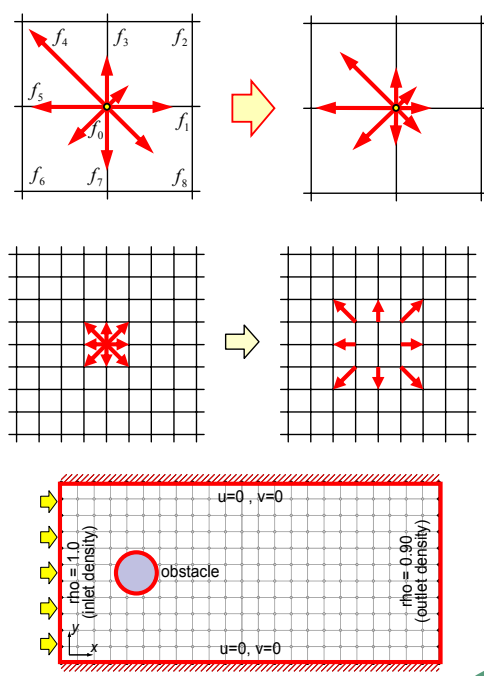
格子点上に定義される仮想粒子の
離散速度分布
(9 速度; 2D9Vモデル)



平衡状態
への緩和

粒子数密
度の移動

境界処理

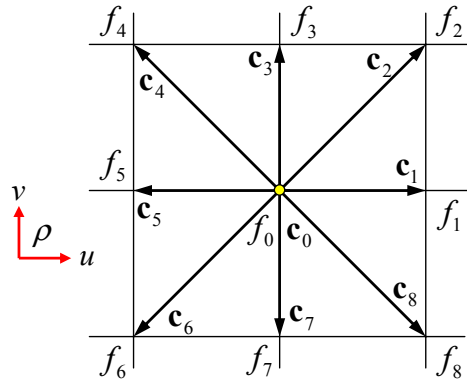


格子ボルツマン法のアルゴリズム

各格子点において
巨視的変数量(密度,運動量)を計算

密度

$$\begin{aligned}\rho &= \sum_i f_i \\ &= f_0 + f_1 + f_2 + f_3 + f_4 + f_5 + f_6 + f_7 + f_8\end{aligned}$$



運動量 (流速: $\mathbf{v} = (u, v)$)

$$\rho \begin{pmatrix} u \\ v \end{pmatrix} = \sum_i f_i \cdot \mathbf{c}_i = \sum_i f_i \begin{pmatrix} c_{xi} \\ c_{yi} \end{pmatrix} = \begin{pmatrix} f_1 - f_3 + f_5 - f_6 - f_7 + f_8 \\ f_2 - f_4 + f_5 + f_6 - f_7 - f_8 \end{pmatrix}$$

- 密度,流速($\rho, \mathbf{v} = (u, v)$)に対する局所平衡分布関数

$$\begin{aligned}f_0^{\text{eq}} &= \frac{4}{9} \rho \left[1 - \frac{3}{2} \mathbf{v}^2 \right] \\ f_i^{\text{eq}} &= \frac{1}{9} \rho \left[1 + 3(\mathbf{c}_i \cdot \mathbf{v}) + \frac{9}{2} (\mathbf{c}_i \cdot \mathbf{v})^2 - \frac{3}{2} \mathbf{v}^2 \right] \quad (i=1,2,3,4) \\ f_i^{\text{eq}} &= \frac{1}{36} \rho \left[1 + 3(\mathbf{c}_i \cdot \mathbf{v}) + \frac{9}{2} (\mathbf{c}_i \cdot \mathbf{v})^2 - \frac{3}{2} \mathbf{v}^2 \right] \quad (i=5,6,7,8)\end{aligned}$$

- 衝突：粒子分布を局所平衡状態へ近づける

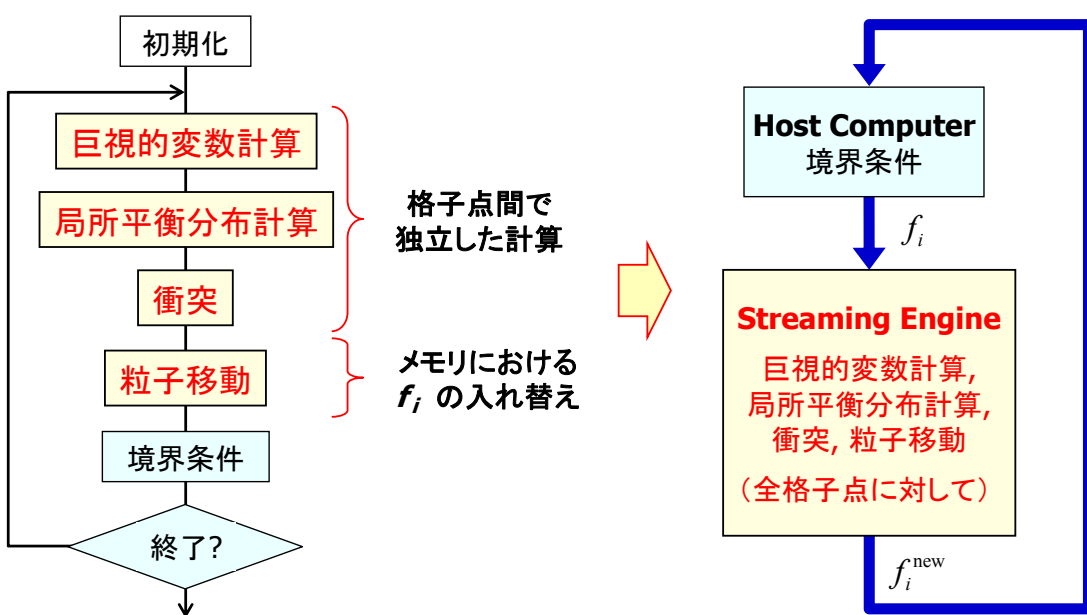
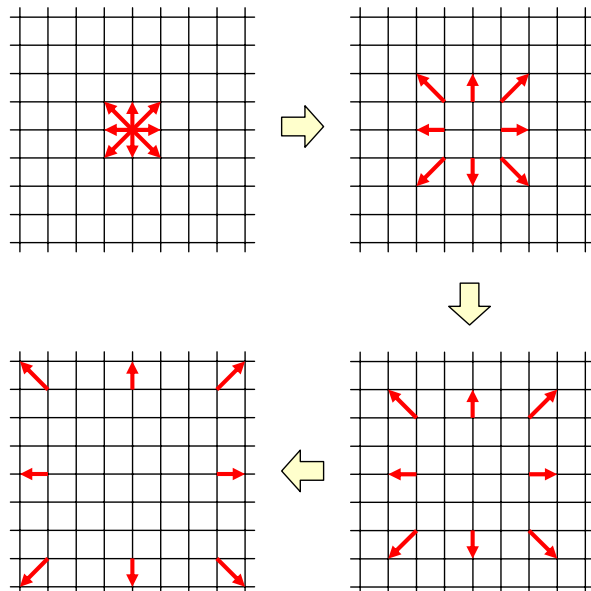
$$f_i^{\text{new}} = f_i - \frac{1}{\tau} \{ f_i - f_i^{\text{eq}} \}$$

緩和係数 τ : 局所平衡状態に達する時間 = $\tau \Delta t$

時間刻み Δt における粒子の移動

- ✓ 方向 i の粒子数密度 f_i
⇒ 方向 i の隣接格子に移動
- ✓ 各格子点における
新たな粒子分布関数 f_i
⇒ 時刻 $(t + \Delta t)$ における
新しい状態

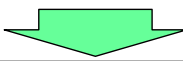
実際にはメモリ上のデータ
 f_i の並べ替え



格子ボルツマン法のアルゴリズム

ストリーム処理

粒子分布関数 $f_0, f_1, f_2, f_3, f_4, f_5, f_6, f_7, f_8$



**巨視的
変数計算**

$$\begin{aligned}\rho &= \sum_i f_i = f_0 + f_1 + f_2 + f_3 + f_4 + f_5 + f_6 + f_7 + f_8 \\ \left(\begin{array}{c} \rho u \\ \rho v \end{array} \right) &= \sum_i f_i \cdot \mathbf{c}_i = \sum_i f_i \begin{pmatrix} c_{xi} \\ c_{yi} \end{pmatrix} = \begin{pmatrix} f_1 - f_3 + f_5 - f_6 - f_7 + f_8 \\ f_2 - f_4 + f_5 + f_6 - f_7 - f_8 \end{pmatrix}\end{aligned}$$

**局所平衡
分布計算**

$$f_i^{\text{eq}} = A\rho + B\rho(\mathbf{c}_i \cdot \mathbf{v}) + C\rho(\mathbf{c}_i \cdot \mathbf{v})^2 - D\rho\mathbf{v}^2$$

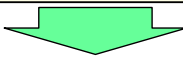
$\mathbf{c}_i = (0,0), (0,\pm 1), (\pm 1,0), \text{ or } (\pm 1, \pm 1)$

衝突

$$f_i^{\text{new}} = f_i - E\{f_i - f_i^{\text{eq}}\}$$

並進

$$f_i^{\text{new}}(\mathbf{x} + \mathbf{c}_i \Delta t, t + \Delta t) = f_i^{\text{new}}(\mathbf{x}, t) \quad \text{メモリ上の並び替え}$$



粒子分布関数 $f_0^{\text{new}}, f_1^{\text{new}}, f_2^{\text{new}}, f_3^{\text{new}}, f_4^{\text{new}}, f_5^{\text{new}}, f_6^{\text{new}}, f_7^{\text{new}}, f_8^{\text{new}}$



計算の最適化

浮動小数点演算器の削減

巨視的変数計算

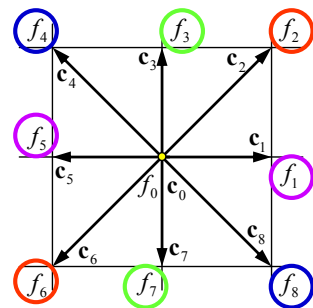
密度 $\rho = f_0 + f_1 + f_2 + f_3 + f_4 + f_5 + f_6 + f_7 + f_8$

運動量 $\rho u = (f_2 - f_6) - (f_4 - f_8) + (f_1 - f_5)$

$\rho v = (f_2 - f_6) + (f_4 - f_8) + (f_3 - f_7)$

$\rho(u+v) = (f_1 - f_5) + (f_3 - f_7) + 2(f_2 - f_6)$

$\rho(u-v) = (f_1 - f_5) + (f_3 - f_7) - 2(f_4 - f_8)$



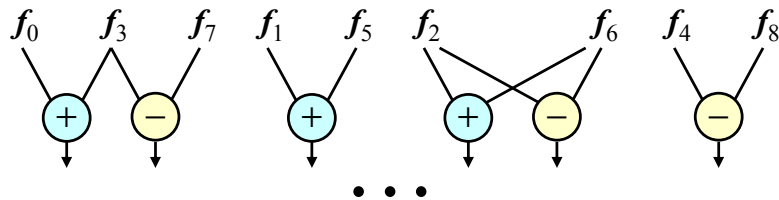
局所平衡分布計算

$$f_i^{\text{eq}} = A\rho + B \begin{pmatrix} \rho u, \\ \rho v, \\ \rho(u+v), \text{ or} \\ \rho(u-v) \end{pmatrix} + \frac{1}{\rho} \left\{ C \begin{pmatrix} \rho u, \\ \rho v, \\ \rho(u+v), \text{ or} \\ \rho(u-v) \end{pmatrix}^2 - D[(\rho u)^2 + (\rho v)^2] \right\}$$

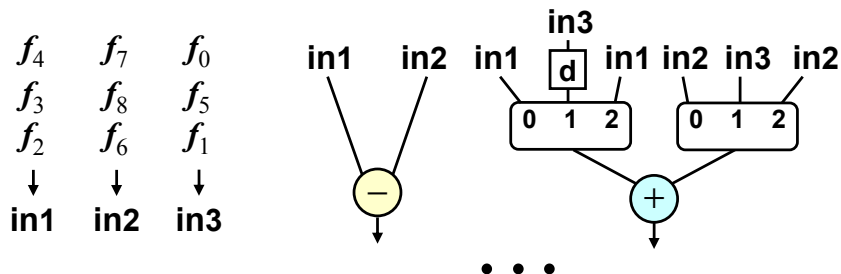
ベクトルの内積 \Rightarrow スカラ値の選択

同一演算器の時分割利用

9変数を同時入力 : 空間並列 \Rightarrow 演算器数多 & 広帯域



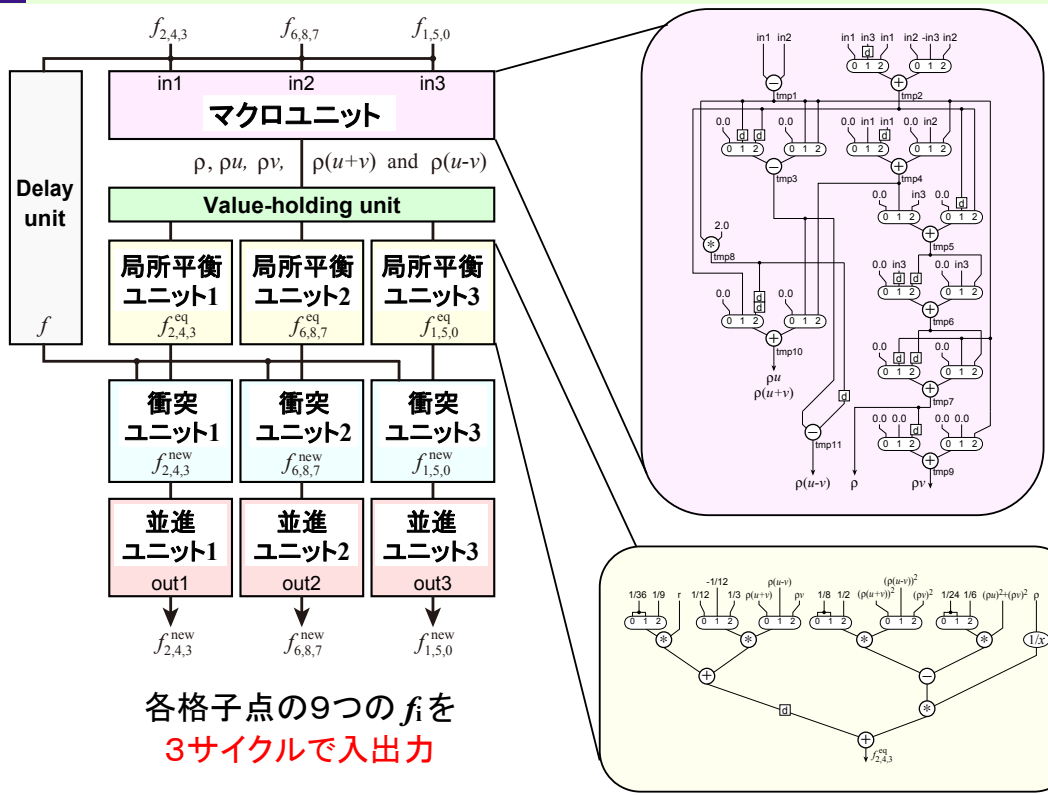
9変数を複数サイクル入力 : 空間・時間並列 \Rightarrow 演算器数・帯域を削減可



実装可能演算器数, 動作周波数, I/O帯域 を考慮し 3変数3サイクル入力

Tutorial
SACSSIS
2008

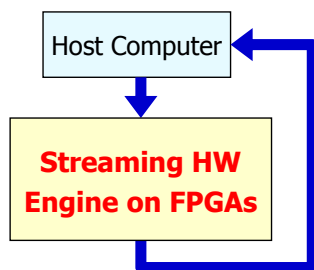
ストリーミング回路の概要



Tutorial
SACSSIS
2008

- ストリーム処理

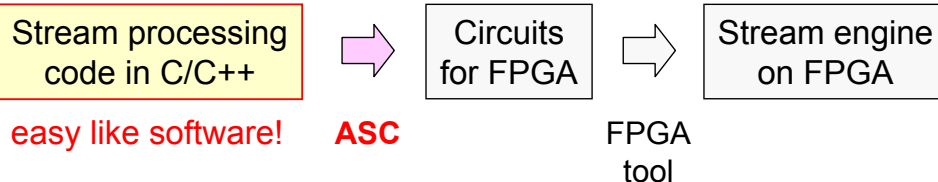
- 異なるデータに対する同様な規則的計算
- 計算エンジンにデータ流(ストリーム)を流す
- 連續アクセスにより広帯域を確保



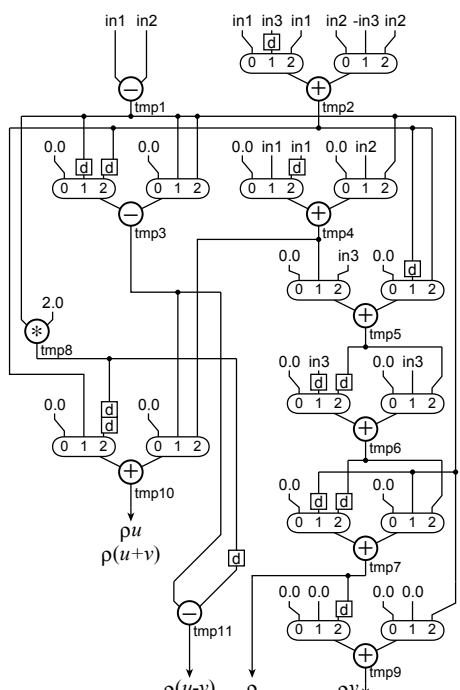
- ストリームコンパイラ(ASC) [Oskar, 2006]

- C/C++によるストリーム計算記述
- C/C++コードからパイプライン回路を自動生成
(演算器等設計の必要無し)

ストリームアーキテクチャ



ASCのためのストリーミングHW記述



マクロユニットのデータパス
(巨視的変数計算)

```
int main(int argc, char **argv) {
    STREAM_START; // ASC code start
    STREAM_OPTIMIZE=THROUGHPUT;

    HWfloat n1(IN, HWFLOAT_TYPE);
    HWfloat in2(IN, HWFLOAT_TYPE);
    HWfloat in3(IN, HWFLOAT_TYPE);
    HWfloat in4(IN, HWFLOAT_TYPE);
    HWfloat in5(IN, HWFLOAT_TYPE);
    HWfloat in6(IN, HWFLOAT_TYPE);
    HWfloat in7(IN, HWFLOAT_TYPE);
    HWfloat in8(IN, HWFLOAT_TYPE);

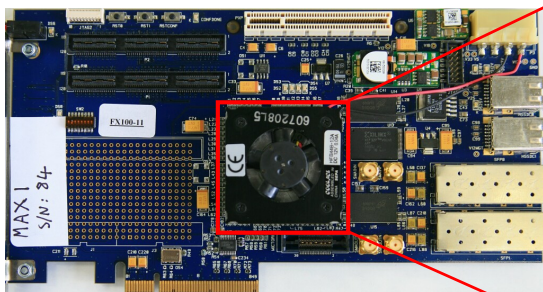
    HWfloat tmp1(TMP, HWFLOAT_TYPE); // temporary1
    HWfloat tmp2(TMP, HWFLOAT_TYPE); // temporary2
    HWfloat tmp3(TMP, HWFLOAT_TYPE); // temporary3
    HWint cyc (REGISTER, 3, UNSIGNED); // for cycle switching
    cyc = 1;
    cyc = IF(cyc[0]==1, 2, IF(cyc[1]==1, 4, 1)); ← サイクル
    // cyc=1, 2, 4 for the 1st, 2nd, 3rd cycles
    ...
    tmp1 = in1 - in2;
    tmp2 = IF(cyc[1], prev(in3, 1), in1) + IF(cyc[1], -in3, in2);
    tmp3 = IF(cyc[0], 0.0, IF(cyc[1], prev(tmp1, 1), prev(tmp2, 1))
    - IF(cyc[0], 0.0, tmp1));
    ...
}

STREAM_END;
return 0;
}
```

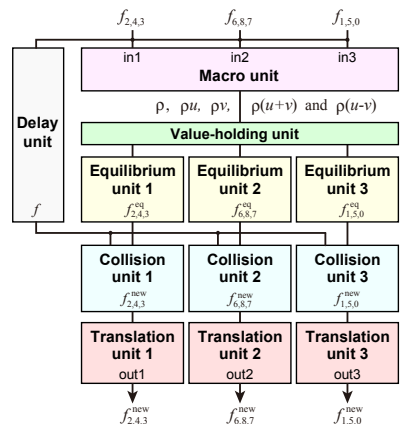
入力変数
計算用テンポラリ変数
サイクル切り替え用カウンタ
条件演算子 IF(条件, 真の値, 偽の値)

ASCクラスライブラリを
用いたC++コード

実装と性能評価



Xilinx Virtex4 FPGA x 1



LBMストリーミング回路
125MHz動作のパイプライン



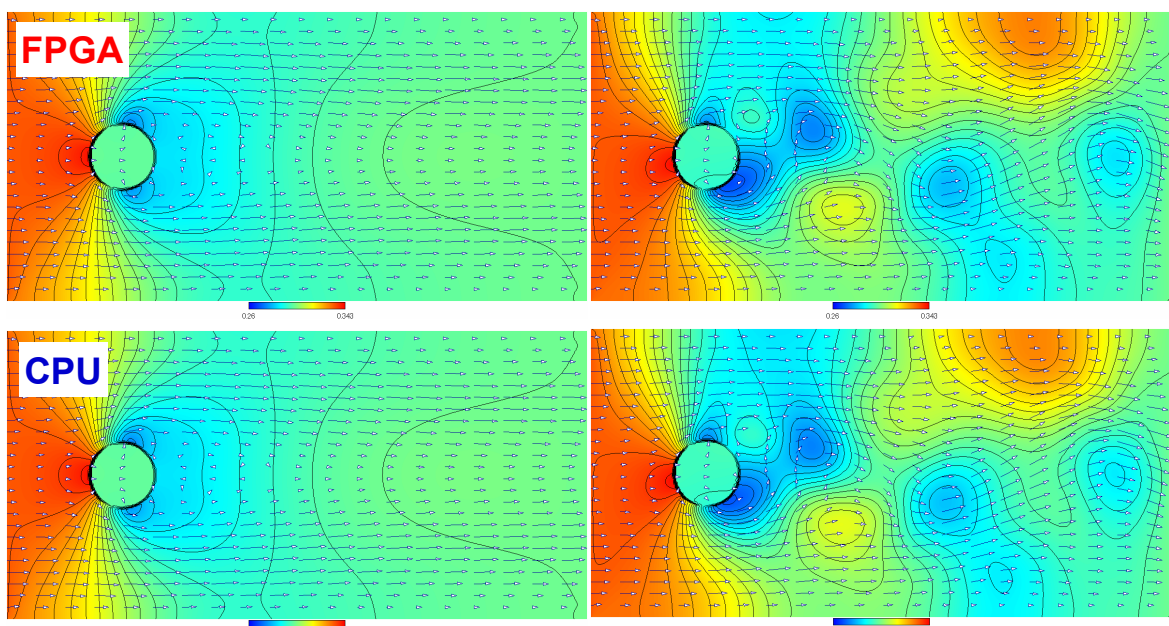
2次元非定常流計算

浮動小数点演算器

(単精度相当31bit: 指数8bit, 仮数22bit)

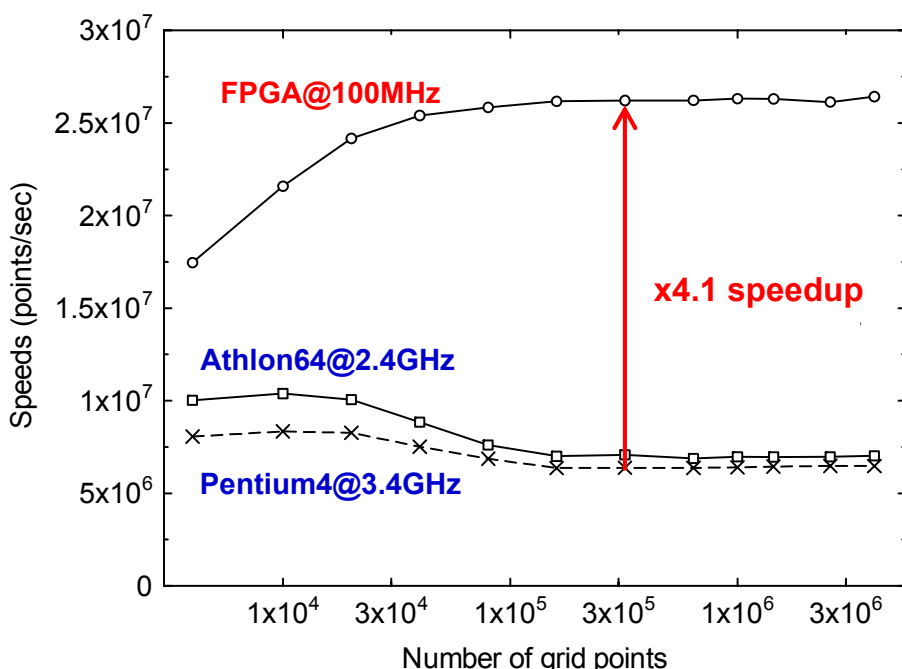
加算器	27	乗算器	17
除算器	1		

計算結果の比較 (Circle, RE=300)



T=10000

T=50000



現状ではPCI-Express x8の半分の帯域(1.8GB) ⇒ 性能向上の余地有り

電力・エネルギー評価(AC)

- 使用機器
メモリハイコーダ HIOKI 8855
- 計測方法
ATX電源 AC 100Vの電圧・電流を測定
⇒ 電力算出
- 条件
ホストPC
CPU Athlon64 400+ 2.4GHz
FPGA ストリーム型LBM専用計算機

格子ボルツマン法(2D19V)計算
400x200格子, 3200タイムステップ
1600x800格子, 800タイムステップ



ACの電圧・電流計測クリップ

400x200計算の消費電力

		FPGA(対CPU*比)
400x200 3200 steps	平均電力 (W)	9割程度
	エネルギー (J)	3割程度
1600x800 800 steps	平均電力 (W)	9割程度
	エネルギー (J)	3割程度

* Athlon64 2.4GHz

** システム全体のAC電源

ストリーム型LBM専用計算機のまとめ

ストリーム型の計算 ⇒ 高スループット & 広帯域の連続メモリアクセス

- 格子ボルツマン法による流体力学計算機

- ✓ 並列性 & 規則性 ⇒ パイプライン
- ✓ 演算器の時分割利用 ⇒ 省HW使用, I/O帯域と計算速度のバランス

- FPGAによる実装

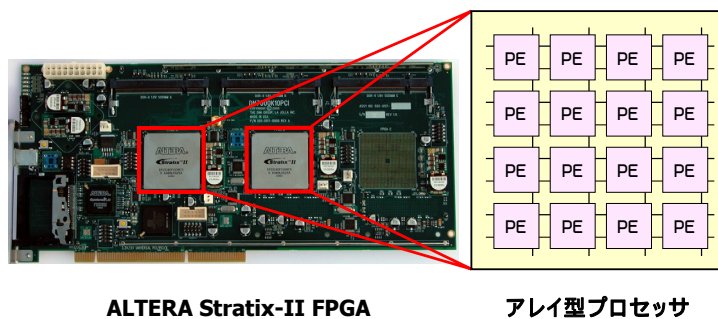
- ✓ ASCによるC++コード ⇒ パイプライン自動生成
- ✓ 45の単精度浮動小数点演算器, 125MHz動作
- ✓ PCI-Express x8のバンド幅がネック
- しかし、CPUとの協調計算が可
- ✓ 3~4倍の高速計算, 低消費電力・低エネルギー



Kentaro Sano, Oskar Mencer and Wayne Luk, "FPGA-based Acceleration of the Lattice Boltzmann Method," Procs of the International Conference on Parallel Computational Fluid Dynamics (ParCFD2007), CDROM(#041, 5 pages), May, 2007.

Kentaro Sano, Oliver Pell, Wayne Luk and Satoru Yamamoto, "FPGA-based Streaming Computation for Lattice Boltzmann Method," Procs of the International Conference on Field-Programmable Technology (ICFPT2007), pp.233-236, Dec, 2007.

シストリックアレイ型差分法専用計算機



41

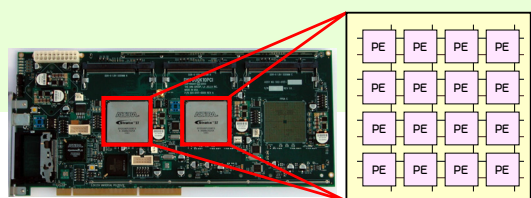
FPGAによる高性能計算 @ SACSIS08

11 Jun 2008

Tutorial
SACSIS
2008

設計コンセプト

- あるカテゴリの計算問題
- 再コンフィギュレーションせずとも可変の計算
 - ✓ プログラマブルの基本構造 & 計算問題に特化した構造
- 計算全体の単独実行
 - ✓ ホスト・FPGA間の帯域制約を回避
 - ✓ FPGA側のみで拡張可能 ⇒ ホスト & スケーラブル大規模FPGAシステム



今回の設計・実装

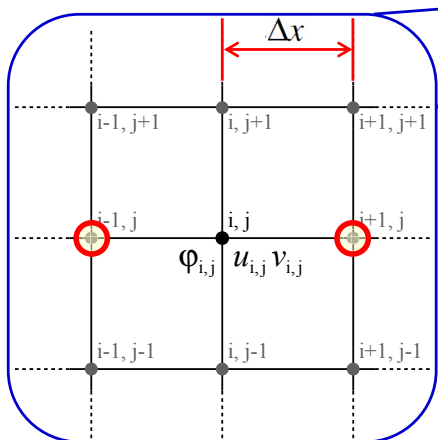
- | | |
|--|--|
| <ul style="list-style-type: none"> ✓ 対象問題 ✓ アーキテクチャ ✓ 拡張性 | <p>差分法計算 (流体計算, 伝熱計算, 電磁波計算, etc)</p> <p>シストリックアレイ, 計算メモリ, 簡素な計算要素</p> <p>(FPGA内蔵メモリのみを使用 ⇒ FPGAの最大性能)</p> <p>LVDSによるFPGA間通信</p> <p>(FPGAアレイのスケーラビリティを実証)</p> |
|--|--|

42

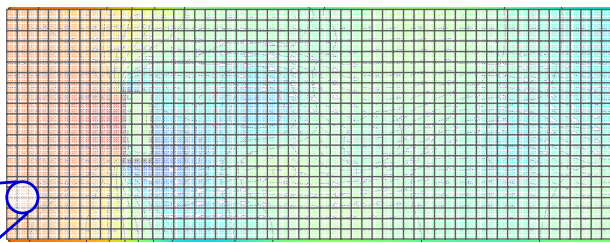
FPGAによる高性能計算 @ SACSIS08

11 Jun 2008

Tutorial
SACSIS
2008



2次元・3次元直交格子
⇒ 規則性



例) 差分法に基づく数値流体力学計算

$$\frac{du}{dx} \simeq \frac{u_{i+1} - u_{i-1}}{2\Delta x}$$

$$\frac{d^2u}{dx^2} \simeq \frac{u_{i-1} - 2u_i + u_{i+1}}{(\Delta x)^2}$$

中心差分法による近似
⇒ 局所性・並列性

計算問題の例： フラクショナルステップ法

[Kim et. al, 1985]

- 非圧縮粘性流体の代表的計算手法

$$\begin{array}{c} \nabla V = 0 \\ \text{連続の式} \\ \frac{\partial V}{\partial t} + (V \cdot \nabla) V = -\nabla \varphi + \nu \nabla^2 V \\ \text{運動方程式} \end{array}$$

V	速度 = (u, v)	$\nu \equiv \mu / \rho$	動粘性係数
P	圧力		
ρ	密度	$\varphi \equiv P / \rho$	

- 計算手順

1. 圧力を考慮せずに運動方程式の時間微分項から仮の速度 V^* を求める



2. 反復法等によりポアソン方程式を解き、仮の速度 V^* から圧力 ϕ^{n+1} を求める

3. V^* と ϕ から運動方程式より次の時間ステップの速度 V^{n+1} を求める

$$V^* = V^n + \Delta t \left\{ -(V^n \cdot \nabla) V^n + \nu \nabla^2 V^n \right\} \quad (1)$$

$$\nabla^2 \phi^{n+1} = \frac{\nabla \cdot V^*}{\Delta t} \quad (2)$$

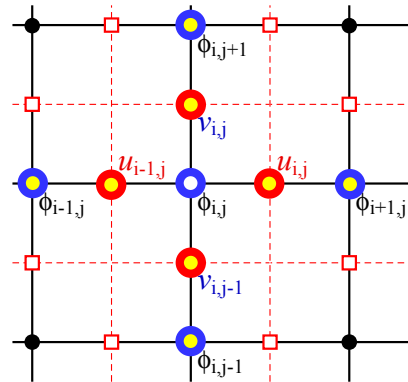
$$V^{n+1} = V^* - \Delta t \nabla \phi^{n+1} \quad (3)$$

手順2のポワソン方程式

$$\nabla^2 \varphi^{n+1} = \frac{\nabla \cdot V^*}{\Delta t} \quad (V^* = (u^*, v^*))$$

中心差分による離散化

$$\varphi'_{i,j} = \alpha \left(\frac{\varphi_{i+1,j} + \varphi_{i-1,j}}{\Delta x^2} + \frac{\varphi_{i,j+1} + \varphi_{i,j-1}}{\Delta y^2} - D_{i,j} \right)$$



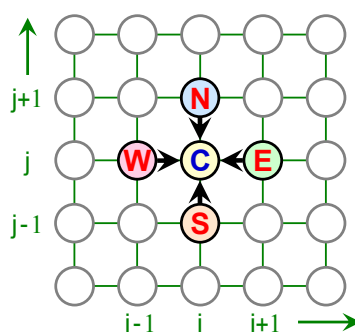
スタガード(食違い)格子

ただし

$$\alpha = \frac{\Delta x^2 \Delta y^2}{2(\Delta x^2 + \Delta y^2)}$$

$$D_{i,j} = \frac{1}{\Delta t} \left(\frac{u_{i,j}^* - u_{i-1,j}^*}{\Delta x} + \frac{v_{i,j}^* - v_{i,j-1}^*}{\Delta y} \right)$$

差分法に基づく計算における一般式

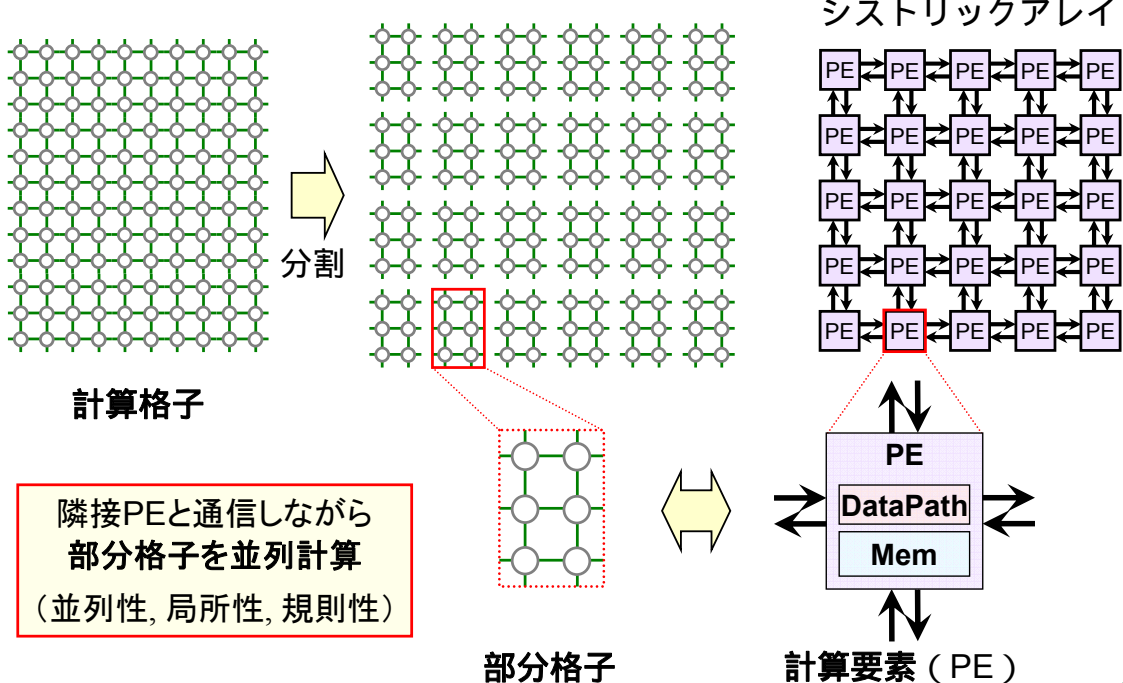


一般式

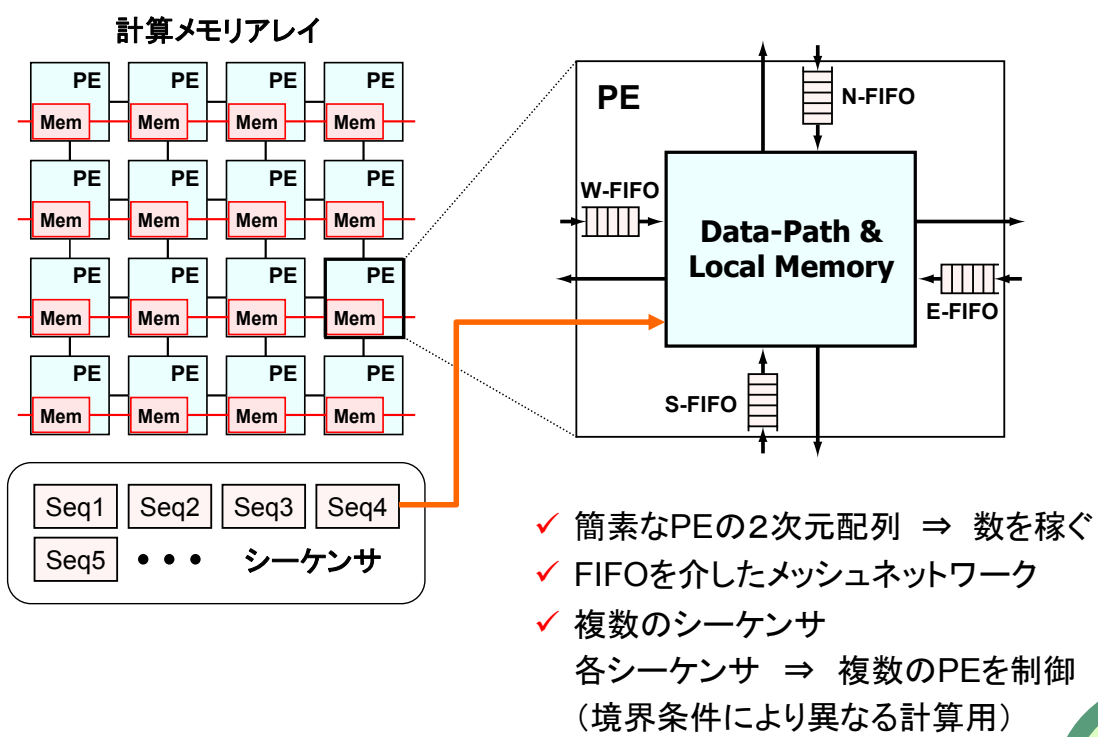
$$Q_{i,j}^{n+1} = C_0 + C_C Q_{i,j}^n + C_E Q_{i+1,j}^n + C_W Q_{i-1,j}^n + C_S Q_{i,j-1}^n + C_N Q_{i,j+1}^n$$

$Q_{i,j}$ 各格子点の変数 C_* 各格子点(i,j)のみで求まる係数

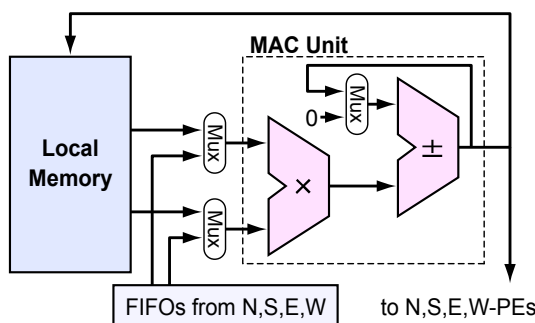
各格子点の累算を並行して行うためのアーキテクチャ



シストリックアレイ型差分法専用計算機



計算要素(PE)のデータパスと命令セット



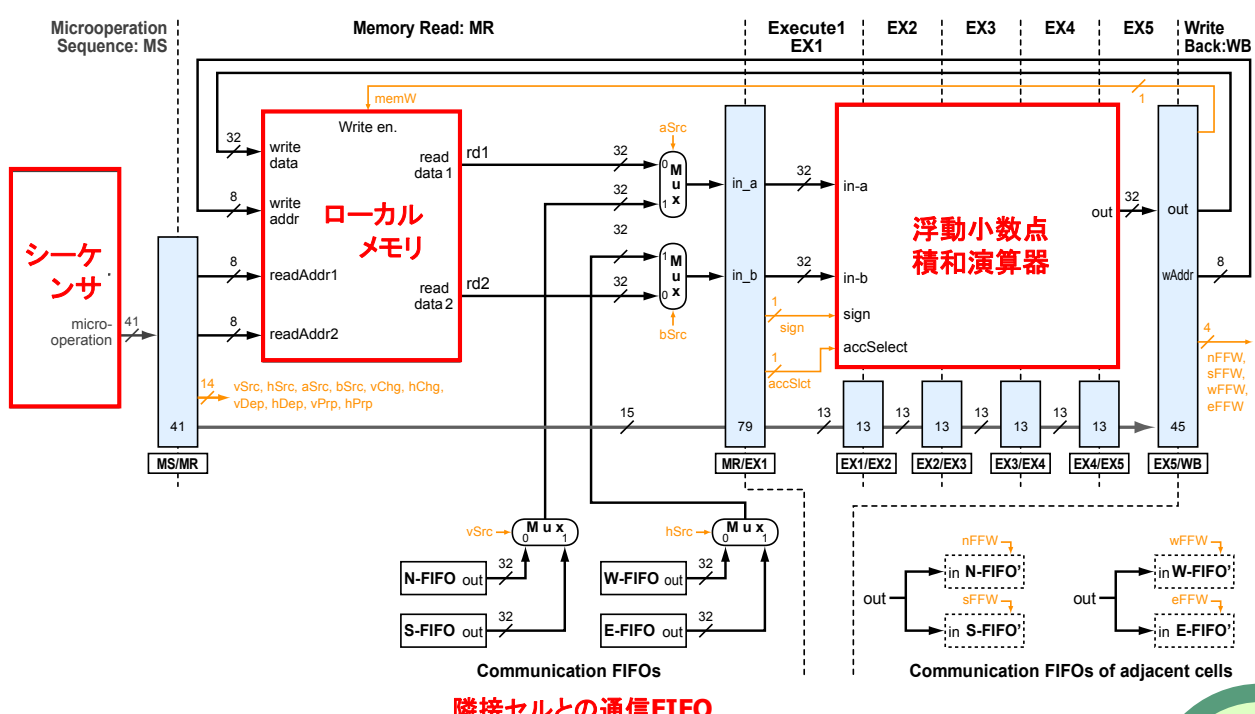
PEのデータパスの概要

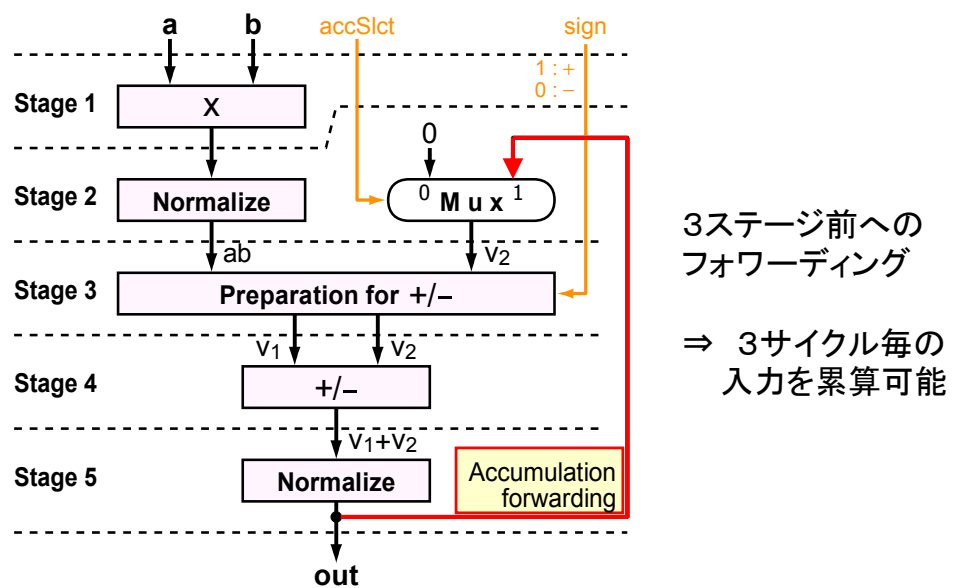
- ✓ シンプルな演算命令
- ✓ メモリ・FIFOの参照
- ✓ 隣接PEへの演算結果書込み
- ✓ ループ専用命令

※あくまで固定機能の時分割実装
が目的(必要に応じて拡張)

//	Op.	dst1, dst2,	src1,	src2
	mulp	NE, -,	u[0;0],	one
	mulp	E, -,	u[1;0],	one
	mulp	SE, -,	u[2;0],	one
	mulp	NW, -,	u[0;1],	one
	mulp	W, -,	u[1;1],	one
	...			
// Main Loop Begin				
Iset	500, Main	← ループ専用命令		
Main:	mulp	-, -,	C,	one
	mulp	-, -,	C,	one
	mulp	-, -,	C,	one
	accp	-, B[0;0],	u[0;0],	b
	accp	B[1;0],	u[1;0],	b
	accp	B[2;0],	u[2;0],	b
	mulp	-, -,	C,	one
	mulp	-, -,	C,	one
	mulp	-, -,	C,	one
	accp	B[0;1],	u[0;1],	b
	accp	B[1;1],	u[1;1],	b
	accp	B[2;1],	u[2;1],	b
	...			
	accp	NW, v[0;1],	SFIFO,	b
	accpbne	W, v[1;1],	ph[0;1],	b
	accp	SW, v[2;1],	ph[1;1],	b

計算要素のデータパス (8段パイプライン)





$$OUT = a_1b_1 + a_2b_2 + a_3b_3 + a_4b_4 + \dots$$

51

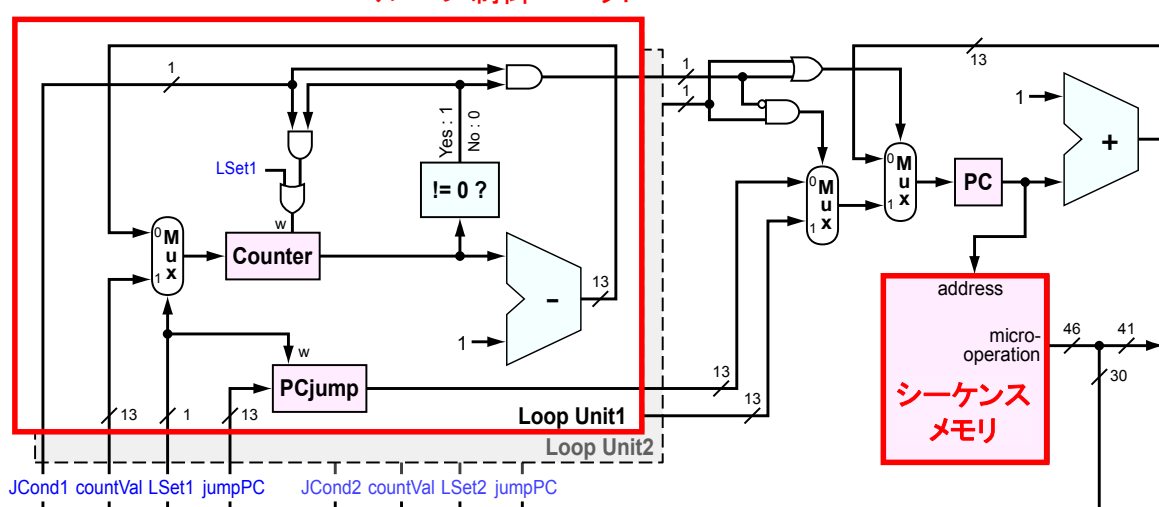
FPGAによる高性能計算 @ SACSIS08

11 Jun 2008

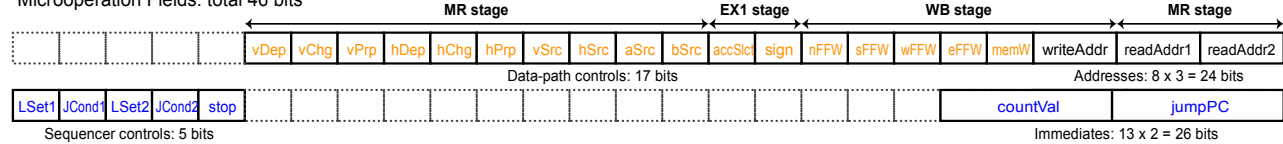
Tutorial
SACSIS
2008

シーケンサ

ループ制御ユニット



Microoperation Fields: total 46 bits



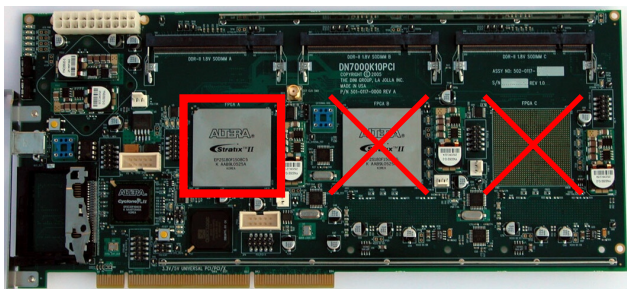
52

FPGAによる高性能計算 @ SACSIS08

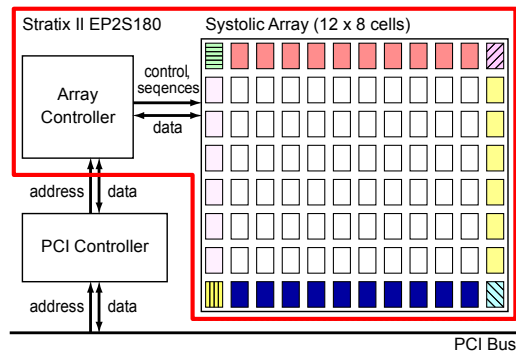
11 Jun 2008

2008

単一FPGAによる試作実装



FPGAボード: DN7000k10PCI



12 x 8 PE 計算メモリアレイ

ALTERA StratixII FPGA

- ✓ 最大規模 (EP2S180)
- ✓ 143520 ALUTs
- ✓ 8.9 Mbits のBlockRAM
- ✓ 96 36x36-乗算器

実装結果 (verilog-HDL)

PE数 96
 動作周波数 96 MHz
 ピーク性能 18.4 GFlops (单精度)
 PCIコントローラ, アレイコントローラ
 シーケンサ x 9 を実装

境界PEと9つのシーケンサ

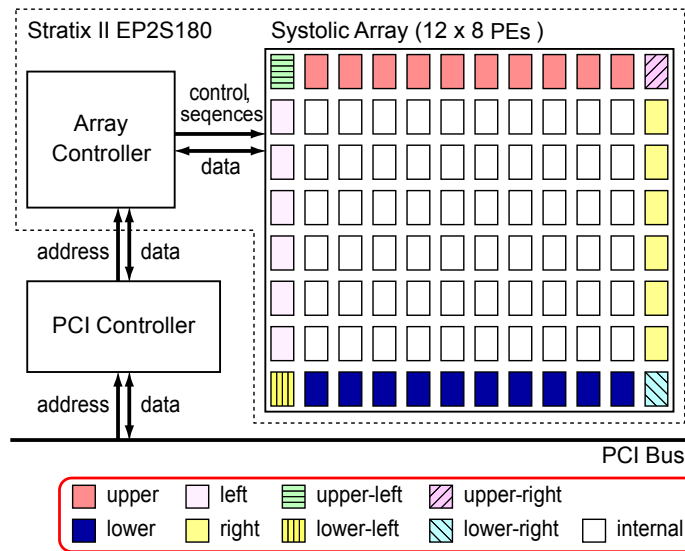
異なる境界条件



異なる計算



異なるシーケンサ



9シーケンサの内訳

内部 60 PE internal

縁 4 PE right, left, upper, lower

角 4 PE upper-left, lower-left, upper-right, lower-right

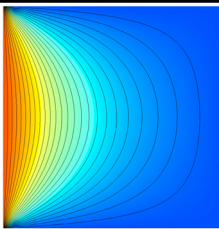
計算速度 (单一FPGA 96MHz)

計算問題

実効性能(効率)

Pentium4
3.2GHz比

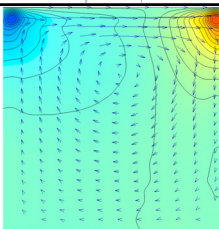
ラプラス方程式の
数値解法(ヤコビ法)



15.1 GFlops
(81.75%)

x 11.15

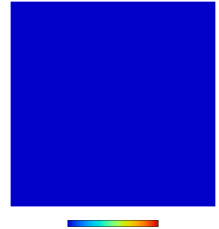
正方キャビティ
強制対流(フラク
ショナルステップ法)



16.5 GFlops
(89.45%)

x 14.12

電磁波伝播
(FDTD法)



15.1 GFlops
(81.8%)

x 12.26

SS

FPGAによる高性能計算 @ SACSIS08

11 Jun 2008

Tutorial
SACSIS
2008

電力・エネルギー評価(DC)

● 使用機器

メモリハイコーダ HIOKI 8855



● 計測方法

ATX電源の電圧・電流を測定

(DC: +3.3V, +5V, +12V) ⇒ DC電力算出



● 条件

ホストPC (HP ML310)

CPU **Celeron 2.66GHz**

FPGA 単一FPGA, 96MHz

計算問題

ヤコビ法計算 単精度, 2D格子(96x96), 3.3×10^5 反復

FDTD法計算 単精度, 2D格子(72x72), 8.0×10^5 タイムステップ

DC電源測定のクリップ等

Tutorial
SACSIS
2008

SS

FPGAによる高性能計算 @ SACSIS08

11 Jun 2008

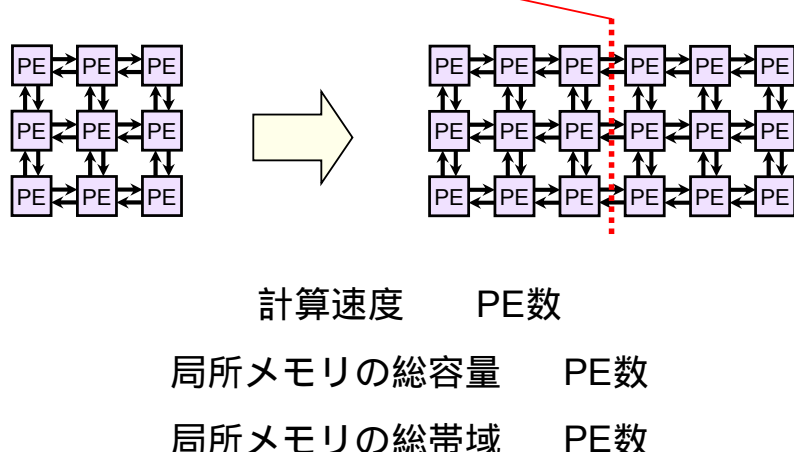
		FPGA** (対CPU*比)
ヤコビ法計算 96x96 3.3x10 ⁵ 反復	平均電力	70% 程度
	エネルギー	5% 程度
FDTD法計算 72x72 8.0x10 ⁵ steps	平均電力	70% 程度
	エネルギー	6% 程度

* Celeron 2.66GHz

** HDD, 電源ファンを除くシステム全体のDC電源

PE間の通信量はアレイサイズに無関係

PE間要求帯域一定のままアレイを拡張可能



規模に対してスケーラブルなシステム

差分法計算 ⇒ 規則性・局所性・並列性（累算計算）

- シストリックアレイによる専用計算機
 - ✓ プログラマブルの基本構造 & 問題に特化した構造（簡素なPE, ネットワーク, シーケンサ）

- FPGAによる実装

- ✓ FPGA単独で全計算を実行
- ✓ 96の単精度浮動小数点演算器, 96MHz動作
- ✓ 10~倍の高速計算, 低消費電力・低エネルギー
- ✓ オンチップメモリの限界 ⇒ 外部メモリ利用／FPGAアレイ構築の予定



Kentaro Sano, Takanori Iizuka and Satoru Yamamoto, "Massively Parallel Processor based on Systolic Architecture for High-Performance Computation of Difference Schemes," Proceedings of the International Conference on Parallel Computational Fluid Dynamics (ParCFD2006), pp.174-177, May, 2006.

Kentaro Sano, Takanori Iizuka and Satoru Yamamoto, "Systolic Architecture for Computational Fluid Dynamics on FPGAs," Proceedings of the 15th Annual IEEE Symposium on Field-Programmable Custom Computing Machines (FCCM2007), pp.107-116, April, 2007.

佐野 健太郎, 王 陸洲, 初田 義明, 山本 悟, "FPGAによる数値流体力学専用計算の設計と評価," 第21回数値流体力学シンポジウム講演論文集, CDROM(No.G6-2, 4 pages), 2007.

- 大規模FPGAによる高性能計算

- ✓ 潜在性能(現在)
 - ◎ ビット・整数演算, 他精度(4倍精度?)
 - 単精度
 - △ 倍精度
- ✓ 低消費電力
- ✓ 複数のFPGAによるスケーラブルなシステム

- アプリケーションの選択が鍵

- ✓ HW化に適した問題 並列性・規則性
- ✓ 実はデータ入替え等の計算以外の処理で優位 (μ Pが苦手とする処理)

- 今後の課題

- ✓ FPGAの潜在的性能向上を具現化するために
 - アプリケーション ⇒ HWのマッピング(アーキテクチャ)
 - I/O帯域, 内部メモリ, 演算性能のバランス
- ✓ 設計・実装の容易化, 規格化